

УДК 539.3

## О ВЗАИМОДЕЙСТВИИ ШТАМПА СО СЛОИСТЫМ УПРУГИМ ОСНОВАНИЕМ

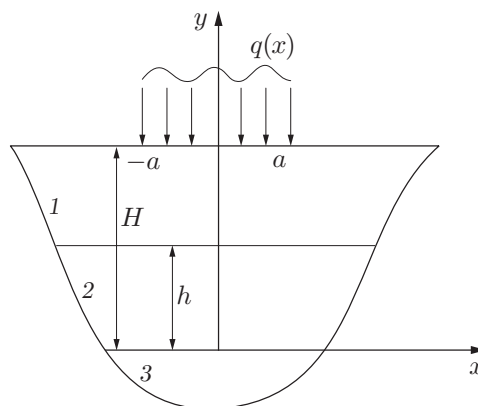
А. А. Калякин

Московский государственный университет им. М. В. Ломоносова, 119992 Москва  
E-mail: kalyakin\_alex@pisem.net

Рассмотрены плоская и осесимметричная контактные задачи для трехслойного упругого полупространства. Плоская задача сведена к сингулярному интегральному уравнению первого рода, приближенное решение которого получено с помощью модифицированного метода коллокации Мультиппа — Каландия. Осесимметричная задача сведена к интегральному уравнению Фредгольма второго рода, приближенное решение которого получено специально разработанным методом коллокации по узлам полинома Лежандра. Рассмотрена также осесимметричная контактная задача для трансверсально-изотропного слоя, полностью сцепленного с упругим изотропным полупространством. Приведены примеры вычисления характерных интегральных величин.

Ключевые слова: контактная задача, слоистое упругое основание, штамп.

**1. Вспомогательная задача.** Рассмотрим задачу о равновесии упругой полуплоскости с двухполосным упругим покрытием (см. рисунок) в условиях плоской деформации. Между полосами  $H - h \leq y \leq H$  и  $0 \leq y \leq h$ , а также между нижней полосой  $0 \leq y \leq h$  и полуплоскостью  $y \leq 0$  осуществлено полное сцепление. Верхняя полоса нагружена распределенным нормальным давлением  $q(x)$ . Механические характеристики (модули сдвига и коэффициенты Пуассона) полос и полуплоскости — соответственно  $G_j$  и  $\nu_j$  ( $j = 1, 2, 3$ ).



Геометрия задачи

Граничные условия задачи имеют вид:

— при  $y = H$

$$\begin{aligned} \sigma_y^{(1)} &= -\tilde{q}(x), & \tau_{xy}^{(1)} &= 0, \\ \tilde{q}(x) &= q(x), & |x| \leq a, & \quad \tilde{q}(x) = 0, & |x| > a; \end{aligned} \quad (1.1)$$

— при  $y = h$

$$u_1 = u_2, \quad v_1 = v_2, \quad \sigma_y^{(1)} = \sigma_y^{(2)}, \quad \tau_{xy}^{(1)} = \tau_{xy}^{(2)}; \quad (1.2)$$

— при  $y = 0$

$$u_2 = u_3, \quad v_2 = v_3, \quad \sigma_y^{(2)} = \sigma_y^{(3)}, \quad \tau_{xy}^{(2)} = \tau_{xy}^{(3)}. \quad (1.3)$$

Здесь  $u$  и  $v$  — перемещения по осям  $x$  и  $y$  соответственно;  $\sigma_y$  — нормальное напряжение;  $\tau_{xy}$  — касательное напряжение. К граничным условиям (1.1)–(1.3) следует добавить условие отсутствия напряжений в конструкции при  $|x| \rightarrow \infty$  и  $|y| \rightarrow \infty$ .

Для решения задачи воспользуемся общим представлением решения уравнений Ламе через бигармоническую функцию перемещений  $\chi$ :

$$u = -\frac{\partial^2 \chi}{\partial x \partial y}, \quad v = \left[ 2(1 - \nu)\Delta - \frac{\partial^2}{\partial y^2} \right] \chi \quad (1.4)$$

( $\Delta$  — оператор Лапласа). Представляя в (1.4) бигармонические функции  $\chi_j$  ( $j = 1, 2, 3$ ) в форме интегралов Фурье

$$\chi_j(x, y) = \frac{1}{2\pi} \int_{-\infty}^{\infty} X_j(\alpha, y) e^{-i\alpha x} d\alpha, \quad (1.5)$$

для трансформант  $X_j(\alpha, y)$ , входящих в (1.5), получим выражения

$$\begin{aligned} X_1(\alpha, y) &= [a_1(\alpha) + |\alpha|y a_2(\alpha)] e^{|\alpha|y} + [b_1(\alpha) + |\alpha|y b_2(\alpha)] e^{-|\alpha|y}, \\ X_2(\alpha, y) &= [c_1(\alpha) + |\alpha|y c_2(\alpha)] e^{|\alpha|y} + [d_1(\alpha) + |\alpha|y d_2(\alpha)] e^{-|\alpha|y}, \\ X_3(\alpha, y) &= [e_1(\alpha) + |\alpha|y e_2(\alpha)] e^{|\alpha|y}, \end{aligned} \quad (1.6)$$

где десять функций  $a_l, b_l, c_l, d_l, e_l$  ( $l = 1, 2$ ) должны быть найдены из граничных условий (1.1)–(1.3).

Чтобы отыскать указанные функции, выразим граничные условия (1.1)–(1.3) (с помощью формул Коши, связывающих перемещения с деформациями, и соотношений закона Гука, связывающих деформации с напряжениями) через функции  $\chi_j$  ( $j = 1, 2, 3$ ). Затем представим разрывную функцию  $\tilde{q}(x)$  вида (1.1) в форме интеграла Фурье

$$\tilde{q}(x) = \frac{1}{2\pi} \int_{-\infty}^{\infty} Q(\alpha) e^{-i\alpha x} d\alpha \quad (1.7)$$

и запишем граничные условия (1.1)–(1.3) в трансформантах Фурье. Воспользовавшись теперь формулами (1.6), получим систему десяти алгебраических уравнений для определения функций  $a_l, b_l, c_l, d_l, e_l$  ( $l = 1, 2$ ). Решим эту систему.

Подставив найденные значения  $a_l(\alpha)$  и  $b_l(\alpha)$  ( $l = 1, 2$ ) в первую формулу (1.6), построим по второй формуле (1.4) выражение для  $v'_x(x, H)$ , необходимое далее для постановки контактной задачи:

$$v'_x(x, H) = \frac{i}{2\pi\theta_1} \int_{-\infty}^{\infty} \operatorname{sgn}(\alpha) L(|\alpha|H) Q(\alpha) e^{-i\alpha x} d\alpha, \quad \theta_1 = \frac{G_1}{1 - \nu_1}. \quad (1.8)$$

Выражение для функции  $L(u)$  весьма громоздкое и здесь не приводится. Заметим только, что функция  $L(u)$  непрерывна и обладает следующими асимптотическими свойствами:

$$\begin{aligned} L(u) &= 1 + O(e^{-2|u|^\delta}), & |u| \rightarrow \infty, & \quad \delta = \inf(\varepsilon, 1 - \varepsilon), \\ L(u) &= n + O(|u|), & |u| \rightarrow 0. \end{aligned} \tag{1.9}$$

**2. Плоская контактная задача.** Заменяем первое граничное условие в (1.1) следующими условиями:

$$v'_x(x, H) = -[\beta - f'(x)], \quad |x| \leq a, \quad \sigma_y^{(1)}(x, H) = 0, \quad |x| > a. \tag{2.1}$$

Первое граничное условие в (2.1) — это условие контакта между жестким штампом, основание которого описывается функцией  $y = f(x)$ , и поверхностью двухполосного покрытия упругой полуплоскости. Второе граничное условие в (2.1) — условие отсутствия нормальной нагрузки поверхности вне зоны контакта  $|x| \leq a$ . Будем считать, что штамп вдавливается без трения в трехслойное основание силой  $P$ , под действием которой он перемещается на некоторую малую величину поступательно в отрицательном направлении оси  $y$  и поворачивается на малый угол  $\beta$ .

Остальные граничные условия в (1.1)–(1.3) и условие отсутствия напряжений в конструкции на бесконечности примем неизменными. Тогда с учетом формулы (1.8) первое граничное условие (2.1) будет удовлетворено, если выполняется соотношение

$$\int_{-\infty}^{\infty} \operatorname{sgn}(\alpha) L(|\alpha|H) Q(\alpha) e^{-i\alpha x} d\alpha = 2\pi i \theta_1 [\beta - f'(x)], \quad |x| \leq a. \tag{2.2}$$

Второму граничному условию (2.1) удовлетворим, если обращение формулы (1.7) запишем в виде

$$Q(\alpha) = \int_{-a}^a q(\xi) e^{i\alpha\xi} d\xi, \tag{2.3}$$

где  $q(x)$  — неизвестное контактное давление.

Подставляя (2.3) в (2.2), после несложных преобразований получим следующее интегральное уравнение для определения  $q(x)$ :

$$\int_{-a}^a q(\xi) d\xi \int_0^{\infty} L(u) \sin\left(u \frac{\xi - x}{H}\right) du = \pi \theta_1 H [\beta - f'(x)], \quad |x| \leq a. \tag{2.4}$$

К этому уравнению добавим условия равновесия штампа

$$P = \int_{-a}^a q(\xi) d\xi, \quad Pe = \int_{-a}^a \xi q(\xi) d\xi, \tag{2.5}$$

где  $e$  — расстояние от оси  $y$  до линии действия силы  $P$ . Второе условие в (2.5) служит для определения угла поворота штампа  $\beta$ . Если полуудлина линии контакта  $a$  не фиксируется углами штампа, то к уравнению (2.4) следует добавить условия

$$q(\pm a) = 0, \tag{2.6}$$

необходимые при заданной силе  $P$  для определения величин  $a$  и  $e$ .

### 3. Метод решения плоской задачи. Используя интеграл

$$\int_0^{\infty} \sin(uz) du = \frac{1}{z},$$

понимаемый в обобщенном смысле, запишем интегральное уравнение (2.4) в следующем виде:

$$\int_{-a}^a q(\xi) \frac{d\xi}{\xi - x} = \pi\theta_1[\beta - f'(x)] + \frac{1}{H} \int_{-a}^a q(\xi) G\left(\frac{\xi - x}{H}\right) d\xi, \quad (3.1)$$

$$G(z) = \int_0^{\infty} [1 - L(u)] \sin(uz) du.$$

Заметим, что в левой части уравнения (3.1) стоит сингулярный оператор с ядром Коши, в правой части — регулярный оператор, так как функция  $G(t)$  непрерывна, что следует из формул (1.9).

Для построения приближенного решения интегрального уравнения (3.1) предлагается использовать модифицированный метод Мультиппа — Каландия [1, 2]. Кратко изложим его схему. Можно показать [3], что общее решение уравнения (3.1) имеет форму

$$q(x) = \omega(x) / \sqrt{a^2 - x^2}. \quad (3.2)$$

Подставим (3.2) в (3.1) и перейдем к новым переменным  $\xi = a \cos \tau$ ,  $x = a \cos t$ . В результате получим

$$\int_0^{\pi} \frac{\Omega(\tau) d\tau}{\cos \tau - \cos t} = \pi g(t) + \frac{1}{\lambda} \int_0^{\pi} \Omega(\tau) G\left(\frac{\cos \tau - \cos t}{\lambda}\right) d\tau, \quad (3.3)$$

$$\Omega(t) = \frac{\omega(a \cos t)}{a\theta_1}, \quad g(t) = \beta - f'(a \cos t), \quad \lambda = \frac{H}{a}.$$

Для функции  $\omega(x)$  введем в рассмотрение интерполяционный многочлен Лагранжа по узлам

$$x_l = a \cos t_l, \quad t_l = \pi(2l - 1)/(2N), \quad l = 1, 2, \dots, N,$$

которые являются нулями полинома Чебышева первого рода  $T_N(x/a)$ . В частных случаях, когда  $\omega(x)$  — четная или нечетная функция и  $N = 2r + 1$  ( $r \geq 1$ ), такие многочлены соответственно имеют вид

$$\Omega(t) \simeq \frac{1}{r + 1/2} \sum_{l=1}^{r+1} \Omega(t_l) \delta_l \left(1 + 2 \sum_{m=1}^r \cos(2mt_l) \cos(2mt)\right), \quad (3.4)$$

$$\Omega(t) \simeq \frac{2}{r + 1/2} \sum_{l=1}^r \Omega(t_l) \left(\sum_{m=1}^r \cos((2m - 1)t_l) \cos((2m - 1)t)\right),$$

где  $\delta_l = 1$  при  $l \neq r + 1$ ,  $\delta_l = 1/2$  при  $l = r + 1$ .

Подставляя в уравнение (3.3) приближенные выражения  $\Omega(t)$  в одной из форм (3.4) и используя соотношение 7.344(1) из [4]

$$\int_0^{\pi} \frac{\cos(j\tau) d\tau}{\cos \tau - \cos t} = \pi \frac{\sin(jt)}{\sin t}, \quad 0 \leq t \leq \pi, \quad j = 0, 1, \dots,$$

Таблица 1

| $\lambda$ | $c_0$ | $\lambda$ | $c_0$ |
|-----------|-------|-----------|-------|
| 1/4       | 2,72  | 2         | 1,93  |
| 1/2       | 2,48  | 4         | 1,65  |
| 1         | 2,11  |           |       |

вычислим точно интеграл в левой части уравнения (3.3). Чтобы приближенно вычислить интеграл в правой части этого уравнения, используем квадратурную формулу Гаусса

$$\int_0^\pi p(\tau) d\tau = \frac{\pi}{N} \sum_{l=1}^N p(t_l).$$

Вычислив интегралы в (3.3), в полученном соотношении положим  $t = t_s$  и придем к системе  $r$  линейных алгебраических уравнений относительно значений  $\Omega(t_l)$ :

$$-\sum_{l=1}^{r+1-p} \Omega(t_l) \delta_l \left\{ \frac{1}{\sin t_s} \chi_r^{(p)}(t_l, t_s) + \frac{1}{2\lambda} \left[ G\left(\frac{\cos t_l - \cos t_s}{\lambda}\right) - (-1)^p G\left(\frac{\cos t_l + \cos t_s}{\lambda}\right) \right] \right\} = \left(r + \frac{1}{2}\right) g(t_s), \quad s = 1, 2, \dots, r, \quad (3.5)$$

$$\chi_r^{(p)}(\tau, t) = -2 \sum_{m=1}^r \cos((2m-p)\tau) \sin((2m-p)t),$$

где  $p = 0$  для четной функции  $\omega(x)$ ,  $p = 1$  для нечетной функции  $\omega(x)$ .

Чтобы замкнуть систему уравнений (3.5) для четной функции  $\omega(x)$ , необходимо добавить уравнение, получаемое из первого условия в (2.5) с помощью формулы (3.2) и первой формулы в (3.4):

$$\frac{P}{a\theta_1} = \frac{\pi}{r + 1/2} \sum_{l=1}^{r+1} \Omega(t_l) \delta_l. \quad (3.6)$$

После того как решена система (3.5), (3.6) для четной функции  $\omega(x)$  и система (3.5) для нечетной функции  $\omega(x)$  относительно  $\Omega(t_l)$ , по формулам (3.4) могут быть найдены приближенные выражения функций  $\Omega(t)$ , а следовательно, и функций  $\omega(x)$  и  $q(x)$ . Далее нетрудно воспользоваться, если необходимо, вторым условием из (2.5) и условиями (2.6) для определения величин  $\beta$ ,  $a$  и  $e$ .

Рассмотрим пример параболического штампа с гладкими краями, находящегося под действием центрально расположенной силы. Функция формы основания штампа имеет вид  $f(x) = x^2/(2R)$ , где  $R$  — радиус кривизны в вершине параболы. Используя значения параметров

$$G_2 = 3G_1/2, \quad G_3 = 2G_1, \quad \nu_1 = 0,25, \quad \nu_2 = 0,35, \quad \nu_3 = 1/3, \quad H/h = 2,$$

найдем зависимость коэффициента связи  $P/(\theta_1 a)$  и  $a/R$  от  $\lambda$ . В табл. 1 приведены значения величины  $c_0 = PR/(\theta_1 a^2)$ , вычисленные при различных значениях параметра  $\lambda$ .

**4. Осесимметричная контактная задача.** Рассмотрим осесимметричную контактную задачу о вдавливании жесткого штампа в трехслойное основание, состоящее из двух упругих слоев, лежащих на упругом полупространстве. Слои полностью сцеплены друг с другом и с полупространством. Толщины верхнего и нижнего слоев обозначим через  $H - h$  и  $h$  соответственно. Согласно [5] данная контактная задача посредством преобразования

Ханкеля сводится к интегральному уравнению первого рода относительно контактного давления  $q(r)$  с симметричным ядром:

$$\int_0^a q(\rho) K\left(\frac{\rho}{H}, \frac{r}{H}\right) \rho d\rho = \theta_1 H [\delta - f(r)], \quad 0 \leq r \leq a, \quad (4.1)$$

$$K(\sigma, \tau) = \int_0^\infty L(u) J_0(\sigma u) J_0(\tau u) du, \quad \theta_1 = \frac{G_1}{1 - \nu_1}.$$

Здесь  $a$  — радиус области контакта;  $\delta$  — поступательное перемещение штампа по оси ортогональной поверхности основания;  $f(r)$  — функция формы основания штампа;  $H$  — толщина двуслойной плиты;  $G_1$  и  $\nu_1$  — механические характеристики верхнего слоя. Функция  $L(u)$  совпадает с найденной нами во вспомогательной задаче (см. [6]).

К интегральному уравнению (4.1) добавим условие равновесия штампа

$$P = 2\pi \int_0^a q(\rho) \rho d\rho, \quad (4.2)$$

служащее для определения связи между вдавливающей силой  $P$  и внедрением штампа  $\delta$ . Если радиус области контакта  $a$  не задан формой штампа в постановке задачи, то он устанавливается исходя из условия

$$q(a) = 0. \quad (4.3)$$

**5. Метод решения осесимметричной задачи.** Интегральное уравнение первого рода (4.1) может быть сведено к следующему интегральному уравнению второго рода с разностным ядром [6, 7]:

$$p(x) - \frac{1}{\pi H} \int_{-a}^a p(\xi) M\left(\frac{\xi - x}{H}\right) d\xi = \theta_1 g(x), \quad |x| \leq a, \quad (5.1)$$

$$M(y) = \int_0^\infty [1 - L(u)] \cos(uy) du,$$

причем функции  $p(x)$  и  $g(x)$  четные и связаны с функциями  $q(r)$  и  $\delta(r) = \delta - f(r)$  соотношениями

$$q(r) = \frac{2}{\pi} \left[ \frac{p(a)}{\sqrt{a^2 - r^2}} - \int_r^a \frac{p'(\xi) d\xi}{\sqrt{\xi^2 - r^2}} \right], \quad g(x) = \delta(0) + |x| \int_0^{|x|} \frac{\delta'(\rho) d\rho}{\sqrt{x^2 - \rho^2}}. \quad (5.2)$$

Введем безразмерные комплексы

$$x' = \frac{x}{a}, \quad \xi' = \frac{\xi}{a}, \quad \varphi(x') = \frac{p(ax')}{\theta_1 a}, \quad \psi(x') = \frac{g(ax')}{a}, \quad \lambda = \frac{H}{a}$$

и запишем интегральное уравнение (5.1) следующим образом:

$$\varphi(x) - \frac{1}{2\pi\lambda} \int_{-1}^1 \varphi(\xi) \left[ M\left(\frac{\xi - x}{\lambda}\right) + M\left(\frac{\xi + x}{\lambda}\right) \right] d\xi = \psi(x), \quad |x| \leq 1 \quad (5.3)$$

(здесь и далее штрихи у  $x'$  и  $\xi'$  для упрощения записи опускаем).

Для приближенного решения интегрального уравнения (5.3) применим метод коллокации, изложенный в работах [8, 9]. Построим для функции  $\varphi(x)$  четный интерполяционный полином Лагранжа по нулям полинома Лежандра

$$P_{2N+1}(x) = \frac{1}{2^{2N+1}(2N+1)!} \frac{d^{2N+1}(x^2-1)^{2N+1}}{dx^{2N+1}}.$$

Он будет иметь вид

$$\varphi(x) \approx \frac{\varphi(0)P_{2N+1}(x)}{xP'_{2N+1}(0)} + 2 \sum_{n=1}^N \frac{\varphi(x_n)xP_{2N+1}(x)}{(x^2-x_n^2)P'_{2N+1}(x_n)} \quad (5.4)$$

$$(P_{2N+1}(x_n) = 0, \quad n = 0, 1, \dots, N, \quad x_0 = 0).$$

Заметим, что можно перейти к полиномам четных степеней, так как

$$\frac{xP_{2N+1}(x) - x_nP_{2N+1}(x_n)}{x^2 - x_n^2} = \sum_{i=0}^N a_{in}P_{2i}(x).$$

Тогда формула (5.4) примет вид

$$\varphi(x) \approx \sum_{i=0}^N P_{2i}(x) \left[ \frac{\varphi(0)}{P'_{2N+1}(0)} a_{i0} + 2 \sum_{n=1}^N \frac{\varphi(x_n)}{P'_{2N+1}(x_n)} a_{in} \right]. \quad (5.5)$$

Воспользовавшись ортогональностью полиномов Лежандра, получим, используя (5.5), следующую квадратурную формулу типа формулы Гаусса:

$$\int_{-1}^1 \varphi(\xi) d\xi \approx 2 \left[ \frac{\varphi(0)}{P'_{2N+1}(0)} a_{00} + 2 \sum_{n=1}^N \frac{\varphi(x_n)}{P'_{2N+1}(x_n)} a_{0n} \right]. \quad (5.6)$$

Применив (5.6) для приближенного вычисления интеграла в уравнении (5.3) и положив  $x = x_m$ , где  $x_m$  — нули полинома  $P_{2N+1}$ , получим систему линейных алгебраических уравнений относительно значений  $\varphi(x_m)$  ( $m = 0, 1, \dots, N$ )

$$\varphi(x_m) - \frac{1}{\pi\lambda} \left\{ \frac{\varphi(0)a_{00}}{P'_{2N+1}(0)} \left[ M\left(-\frac{x_m}{\lambda}\right) + M\left(\frac{x_m}{\lambda}\right) \right] + \right.$$

$$\left. + 2 \sum_{n=1}^N \frac{\varphi(x_n)}{P'_{2N+1}(x_n)} a_{0n} \left[ M\left(\frac{x_n - x_m}{\lambda}\right) + M\left(\frac{x_n + x_m}{\lambda}\right) \right] \right\} = \psi(x_m).$$

Решив эту систему, найдем приближенное выражение для функции  $p(x)$ :

$$p(x) = \theta_1 a \sum_{i=0}^N a_i P_{2i}\left(\frac{x}{a}\right), \quad (5.7)$$

$$a_i = \frac{\varphi(0)}{P'_{2N+1}(0)} a_{i0} + 2 \sum_{n=1}^N \frac{\varphi(x_n)}{P'_{2N+1}(x_n)} a_{in}.$$

Таблица 2

| $\lambda$ | $c_1$ | $c_2$ | $\lambda$ | $c_1$ | $c_2$ |
|-----------|-------|-------|-----------|-------|-------|
| 1/4       | 5,227 | 2,298 | 2         | 3,363 | 1,429 |
| 1/2       | 4,568 | 1,927 | 4         | 3,010 | 1,353 |
| 1         | 3,926 | 1,624 |           |       |       |

Подставив (5.7) в (5.2), найдем выражение для функции  $q(r)$ :

$$q(r) = \frac{2\theta_1 a}{\pi} \sum_{i=0}^N a_i \left[ \frac{1}{\sqrt{a^2 - r^2}} - \frac{1}{a} \sum_{m=0}^{i-1} (-1)^{i-m-1} \frac{(4i - 4m - 1)(2i - 2m - 2)!!}{(2i - 2m - 1)!!} P_{2i-2m-1} \left( \sqrt{1 - \frac{r^2}{a^2}} \right) \right]. \quad (5.8)$$

Соотношения (4.2), (4.3) в силу (5.8) запишутся в следующем виде:

$$P = 4\theta_1 a^2 a_0, \quad \sum_{i=0}^N a_i = 0.$$

В качестве примера рассмотрим штамп параболического профиля, находящийся под действием центрально расположенной силы. Функция формы основания штампа имеет вид  $f(r) = r^2/(2R)$ , где  $R$  — радиус кривизны в вершине параболы. Используя значения параметров

$$G_2 = 3G_1/2, \quad G_3 = 2G_1, \quad \nu_1 = 0,25, \quad \nu_2 = 0,35, \quad \nu_3 = 1/3, \quad H/h = 2,$$

найдем зависимость коэффициентов связи  $P/(\theta_1 a^2)$  и  $\delta/a$ , а также  $P/(\theta_1 a^2)$  и  $a/R$  от  $\lambda$ . В табл. 2 приведены значения величин  $c_1 = P/(\theta_1 a \delta)$  и  $c_2 = PR/(\theta_1 a^3)$ , вычисленные при различных значениях параметра  $\lambda$ .

**6. Вспомогательная и контактная задачи для трансверсально-изотропного слоя.** Рассмотрим осесимметричную задачу о равновесии упругого трансверсально-изотропного слоя, сцепленного с упругим изотропным полупространством. Ось симметрии  $z$  направлена нормально к плоскости изотропии. Толщину слоя обозначим через  $H$ . Упругие постоянные для изотропного полупространства обозначим  $E_2$  и  $\nu_2$ .

Граничные условия задачи имеют вид:

— при  $z = H$

$$\begin{aligned} \sigma_z^{(1)} &= -\tilde{q}(r), & \tau_{rz}^{(1)} &= 0, \\ \tilde{q}(r) &= q(r), \quad 0 \leq r \leq a, & \tilde{q}(r) &= 0, \quad a < r < \infty; \end{aligned} \quad (6.1)$$

— при  $z = 0$

$$u_1 = u_2, \quad w_1 = w_2, \quad \sigma_z^{(1)} = \sigma_z^{(2)}, \quad \tau_{rz}^{(1)} = \tau_{rz}^{(2)}. \quad (6.2)$$

Здесь  $u$  и  $w$  — перемещения по осям цилиндрической системы координат  $r$  и  $z$  соответственно;  $\sigma_z$  — нормальное напряжение;  $\tau_{rz}$  — касательное напряжение. К граничным условиям (6.1) и (6.2) следует добавить условие отсутствия перемещений в конструкции при  $r \rightarrow \infty$  и  $z \rightarrow -\infty$ .



Для трансверсально-изотропного слоя запишем выражения деформаций через напряжения [10]:

$$\begin{aligned} \varepsilon_r &= \frac{1}{E} (\sigma_r - \nu\sigma_\phi) - \frac{\nu_1}{E_1} \sigma_z, & \varepsilon_\phi &= \frac{1}{E} (\sigma_\phi - \nu\sigma_r) - \frac{\nu_1}{E_1} \sigma_z, \\ \varepsilon_z &= \frac{\nu_1}{E_1} \sigma_z - \frac{\nu_1}{E_1} (\sigma_r + \sigma_\phi), & \gamma_{rz} &= \frac{1}{G_1} \tau_{rz}. \end{aligned} \quad (6.3)$$

Здесь  $\varepsilon_r = \partial u / \partial r$ ;  $\varepsilon_\phi = u / r$ ;  $\varepsilon_z = \partial w / \partial z$ ;  $\gamma_{rz} = \partial u / \partial z + \partial w / \partial r$ . Решив эту систему относительно напряжений, получим

$$\begin{aligned} \sigma_r &= a_1 \varepsilon_r + a_2 \varepsilon_\phi + a_3 \varepsilon_z, \\ \sigma_\phi &= a_2 \varepsilon_r + a_1 \varepsilon_\phi + a_3 \varepsilon_z, \\ \sigma_z &= a_3 \varepsilon_r + a_3 \varepsilon_\phi + a_4 \varepsilon_z, \end{aligned} \quad (6.4)$$

где  $a_1 = E(E_1 - \nu_1^2 E) / D$ ;  $a_2 = E(\nu E_1 + \nu_1^2 E) / D$ ;  $a_3 = E E_1 \nu_1 (1 + \nu) / D$ ;  $a_4 = E_1^2 (1 - \nu^2) / D$ ;  $D = (1 - \nu^2) E_1 - 2 E \nu_1^2 (1 + \nu)$ . Далее предполагаем, что  $D > 0$ .

Полученные выражения для напряжений подставим в уравнения равновесия

$$\frac{\partial \sigma_r}{\partial r} + \frac{\partial \tau_{rz}}{\partial z} + \frac{\sigma_r - \sigma_\phi}{r} = 0, \quad \frac{\partial \sigma_z}{\partial z} + \frac{\partial \tau_{rz}}{\partial r} + \frac{\tau_{rz}}{r} = 0$$

и в итоге получим уравнения Ламе

$$\begin{aligned} a_1 \tilde{L}^2 u + G_1 \frac{\partial^2 u}{\partial z^2} + (a_3 + G_1) \frac{\partial^2 w}{\partial r \partial z} &= 0, \\ G_1 L^2 w + a_4 \frac{\partial^2 w}{\partial z^2} + (a_3 + G_1) \frac{\partial}{\partial z} \hat{L} u &= 0. \end{aligned} \quad (6.5)$$

Здесь использованы следующие обозначения для дифференциальных операторов:

$$L^2 = \frac{\partial^2}{\partial r^2} + \frac{1}{r} \frac{\partial}{\partial r}, \quad \hat{L} = \frac{\partial}{\partial r} + \frac{1}{r}, \quad \tilde{L}^2 = \frac{\partial^2}{\partial r^2} + \frac{1}{r} \frac{\partial}{\partial r} - \frac{1}{r^2}.$$

Введем функцию перемещений  $\chi$ :  $u = -(a_3 + G_1) \partial^2 \chi / \partial r \partial z$ . Выразим  $w$  через  $\chi$  из первого уравнения (6.5). Имеем  $w = (a_1 L^2 + G_1 \partial^2 / \partial z^2) \chi$ . Подставим это выражение во второе уравнение (6.5) и преобразуем его. В результате для функции  $\chi$  получим уравнение в частных производных четвертой степени

$$\begin{aligned} \left( \frac{\partial^4}{\partial z^4} + 2A \frac{\partial^2}{\partial z^2} L^2 + B L^4 \right) \chi &= 0, \\ 2A &= \frac{a_4 a_1 - 2a_3 G_1 - a_3^2}{a_4 G_1}, \quad B = \frac{a_1}{a_4}. \end{aligned} \quad (6.6)$$

Применив преобразование Ханкеля

$$\chi = \int_0^\infty X(\gamma, z) J_0(\gamma z) \gamma d\gamma,$$

где  $J_0$  — функция Бесселя, из уравнения (6.6) получим обыкновенное дифференциальное уравнение четвертого порядка. Решение его в общем виде дается выражением

$$X_1 = c_1 e^{k_1 \gamma z} + c_2 e^{k_2 \gamma z} + c_3 e^{k_3 \gamma z} + c_4 e^{k_4 \gamma z}.$$

Таблица 3

| $\lambda$ | $c_1$ | $c_2$ | $\lambda$ | $c_1$ | $c_2$ |
|-----------|-------|-------|-----------|-------|-------|
| 1/4       | 3,122 | 1,463 | 2         | 2,754 | 1,336 |
| 1/2       | 2,965 | 1,392 | 4         | 2,710 | 1,334 |
| 1         | 2,836 | 1,351 |           |       |       |

Коэффициенты  $k_1, k_2, k_3, k_4$  — корни уравнения  $k^4 - 2Ak^2 + B = 0$ . Для подстилающего полупространства получим выражение аналогичной трансформанты в форме

$$X_2 = (d_1 + \gamma z d_2) e^{\gamma z}.$$

Шесть функций  $c_1, c_2, c_3, c_4, d_1, d_2$  параметра  $\gamma$  должны быть найдены из граничных условий (6.1) и (6.2), для чего выразим эти граничные условия (с помощью формул (6.3) и (6.4)) через функции  $\chi_j$  ( $j = 1, 2$ ). Затем представим разрывную функцию  $\tilde{q}(r)$  в форме интеграла Ханкеля

$$\tilde{q}(r) = \int_0^\infty Q(\gamma) J_0(\gamma r) \gamma d\gamma$$

и запишем все граничные условия в трансформантах. Воспользовавшись выражениями для трансформант, получим систему шести алгебраических уравнений для определения искомых функций  $c_1, c_2, c_3, c_4, d_1, d_2$ . Решив эту систему, получим выражение

$$w(r, H) = \frac{1}{\theta_1} \int_0^\infty L(\gamma H) Q(\gamma) J_0(\gamma r) d\gamma,$$

необходимое далее для постановки контактной задачи.

Отметим, что функция  $L(u)$ , выражение для которой здесь не приводится, имеет тот же смысл, что и в предыдущей задаче, и обладает аналогичными асимптотическими свойствами:

$$\begin{aligned} L(u) &= 1 + O(e^{-2uk_1}), & u \rightarrow \infty, \\ L(u) &= n + O(u), & u \rightarrow 0. \end{aligned}$$

Полученная функция  $L(u)$ , определяющая характер ядра в интегральном уравнении (4.1), позволяет воспользоваться результатами п. 4.

В качестве примера рассмотрим штамп параболического профиля, находящийся под действием центрально расположенной силы. Функция формы основания штампа имеет вид  $f(r) = r^2/(2R)$ , где  $R$  — радиус кривизны в вершине параболы. Используя значения параметров

$$E_1 = 0,915E, \quad G_1 = 0,382E, \quad E_2 = 1,281E, \quad \nu = 0,22, \quad \nu_1 = 0,24, \quad \nu_2 = 0,28,$$

найдем зависимость коэффициентов связи  $P/(\theta_1 a^2)$  и  $\delta/a$ , а также  $P/(\theta_1 a^2)$  и  $a/R$  от  $\lambda$ . В табл. 3 приведены значения величин  $c_1 = P/(\theta_1 a \delta)$  и  $c_2 = PR/(\theta_1 a^3)$ , вычисленные при различных значениях параметра  $\lambda$ .

## ЛИТЕРАТУРА

1. Александров В. М., Ромалис Б. Л. Контактные задачи в машиностроении. М.: Машиностроение, 1986.
2. Каландия А. И. Математические методы двумерной упругости. М.: Наука, 1973.

3. **Александров В. М., Коваленко Е. В.** Задачи механики сплошных сред со смешанными граничными условиями. М.: Наука, 1986.
4. **Градштейн И. С., Рыжик И. М.** Таблицы интегралов, сумм, рядов и произведений. М.: Физматгиз, 1962.
5. **Ворович И. И., Александров В. М., Бабешко В. А.** Неклассические смешанные задачи теории упругости. М.: Наука, 1970.
6. **Александров В. М.** Асимптотические методы в задачах механики сплошной среды со смешанными граничными условиями // Прикл. математика и механика. 1993. Т. 57, вып. 2. С. 102–108.
7. **Уфлянд Я. С.** Интегральные преобразования в задачах теории упругости. Л.: Наука. Ленингр. отд-ние, 1967.
8. **Александров В. М., Клиндухов В. В.** Контактные задачи для двухслойного упругого основания с неидеальной механической связью между слоями // Изв. РАН. Механика твердого тела. 2000. № 3. С. 84–92.
9. **Александров В. М., Клиндухов В. В.** Модифицированный метод Мультиппа — Каландия в осесимметричных контактных задачах // Современные проблемы механики сплошной среды. Ростов н/Д: Изд-во Сев.-Кавк. науч. центра высш. шк., 2001. Т. 2. С. 13–16.
10. **Лехницкий С. Т.** Теория упругости анизотропного тела. М.: Наука, 1977.

*Поступила в редакцию 14/VII 2005 г.*

---